Частотные и дозовые зависимости электрофизических свойств нанокомпозитов ПЭВП/α-Fe₃O₄, модифицированных гамма-лучами

М. М. Кулиев^{а,b}, М. Н. Байрамов^а, Н. Ш. Алиев^а, Р. С. Исмайилова^а, А. Н. Набиева-Мамедли^а

^aИнститут радиационных проблем Министерства науки и образования Азербайджанской Республики, г. Баку, AZ-1143, Азербайджан ^bАзербайджанский технический университет, г. Баку, Az-1078, Азербайджан ^{*}e-mail: ismayilovarafiqa5@gmail.com, **e-mail: guliyevmusafir60@gmail.com

Поступила в редакцию 26.05.2025 После доработки 03.10.2025 Принята к публикации 09.10.2025

Проведены эксперименты по облучению гамма-лучами для исследования потенциала улучшения электрических характеристик чистого полиэтилена высокой плотности (ПЭВП) и полимерного композита ПЭВП/ α -Fe₃O₄. Изучены изменения диэлектрической проницаемости (ϵ '), диэлектрических потерь (tg δ) и АС-электропроводности (σ_{ac}) в переменных полях для необлученных и облученных композитов в диапазоне частот от 25 Γ ц до 1 М Γ ц при комнатной температуре. Доза облучения составляла от 0 до 300 к Γ р. Проводимость от частоты переменного тока прямо пропорциональна частоте. В процессе исследования диэлектриков было обнаружено, что с ростом дозы гамма-излучения относительная диэлектрическая проницаемость и коэффициент потерь увеличиваются, а значение времени релаксации сегментальной динамики полимерной цепи уменьшается для всех композитов. С помощью рентгеновского дифрактометра PANalytical EMPYREAN и сканирующего электронного микроскопа JEOL JSM-6490LV были изучены кристаллическая структура и морфология поверхности необлученных и облученных пленок.

Ключевые слова: полимер, диполь, электрон, диэлектрическая проницаемость, тангенс угла диэлектрических потерь, релаксация, проводимость, частота, гамма-излучение, доза

УДК 541.64:539.26:537.529 https://doi.org/10.52577/eom.2025.61.5.74 ВВЕДЕНИЕ

Современное состояние развития твердотельной электронной, измерительной сенсорной техники характеризуется повышением плотности интеграции электронных устройств, которые нуждаются в расширении функциональных возможностей создаваемых новых материалов. Успех в этой сфере определяется особенными свойствами используемых многофункциональных электронных устройств. В последние годы исследования в области создания материалов со специальными практически И электрофизическими свойствами полимерных компо-зитов, содержащих микро- и наночастицы оксидов металлов, значительно расширились. При этом большое внимание отводится задаче поиска новых функциональных наполнителей, которые позволяют получить на их основе полимерные композиционные материалы (ПКМ), обладающие уникальными характеристиками, в том числе и управляемыми свойствами [1–3].

По мнению авторов этих работ, уникальные электрофизические и магнитные свойства

(высокое удельное электрическое сопротивление, меньшая величина индукции насыщения, более сложная температурная зависимость индукции, низкие потери на вихревые токи), которые зависят от таких факторов, как способ получения, размер частиц, частота внешнего электрического поля, магнитное ионизирующее излучения И т.д., делают магнетит Fe₃O₄ перспективным наполнителем для ПКМ. Не случайно, что в настоящее время разработано немало ПКМ на его основе. В литературе встречается множество работ, в которых приведены результаты исследования структуры и свойств подобных материалов, а также предложены возможные области их применения [1-8].

работе [1] изготовлены образцы функциональных эластомерных композиционных материалов на основе бутадиенстирольного каучука магнетита Fe₃O₄. И Исследованы упруго-прочностные, электрофизические и микроволновые свойства образцов. влияние магнитного коэффициент отражения образцов на металле в

25.86-37.5 диапазоне частот ГГп. Предполагается, что разработанные композиты могут использованы быть В качестве эффективных радиопоглощающих и экраниматериалов рующих управляемыми c свойствами, в том числе градиентными.

Авторами работы [2] представлен метод формирования объемных массивов магнитоуправляемых частиц из оксида Fe₃O₄ с помощью вращающегося постоянного магнитного поля $(B\Pi M\Pi)$ для создания материала-поглотителя электромагнитного излучения сверхвысокочастотного диапазона. Применение установки c вращающимся магнитным полем постоянных магнитов позволило авторам получить композит с плотной частиц. Получены упаковкой спектры отражения, поглощения и ослабления электромагнитного излучения композитов с объемным массивом плотноупакованных магнитных частиц из Fe₃O₄ толщиной 3 и 6 мм, с массивами из 15 и 30 плоских монослоев частиц соответственно. Считается, что представленный метод получения объемных массивов магнитоуправляемых частиц из Fe₃O₄ и установка для его реализации могут быть перспективны при создании композитных материалов с использованием широкого спектра микро- и наночастиц.

Работа [3] также посвящена исследованию и получению методом золь-гель синтеза структурных и диэлектрических свойств наночастиц Fe_3O_4 . Диэлектрическая проницаемость (ϵ '), тангенс угла диэлектрических потерь ($tg\delta$) и фактор диэлектрических потерь ($tg\delta$) и зависимости от температуры и частоты в диапазоне $tg\delta$ и на основании чего авторы пришли к выводу, что эти свойства, благодаря хорошему диэлектрическому поведению, могут быть применены в микроволновых аппаратах.

Учитывая возросший интерес К нанокомпозиционным материалам на базе крупнотоннажных термопластичных полимеров (полиолефинов, полиамидов, полистирола, обусловленный комплексом полиэфиров др.), неаддитивных механических и функциональных свойств по сравнению с исходными полимерами и традиционными наполненными полимерными композициями, авторы [4] методом смешивания в расплаве полимера получили композиционные материалы на основе термопластичных матриц – линейного полиэтилена низкой плотности, полипропилена металлосодержащих наночастиц. Методами термического анализа и динамического механического анализа исследованы термическая стабильность, изучены физико-механические свойства полученных ПКМ. Отмечено, что ПКМ рассматриваемого типа проявляют радиационные защитные свойства по отношению к бета-излучению. Кроме этого, обнаружена высокая корреляция доли проходящего бета-излучения и относительной диэлектрической проницаемости этих материалов.

Влияние размера наночастиц магнетита Fe₃O₄ магнито-диэлектрические свойства на полимерных композитов в области радиочастот рассмотрели авторы [5]. В качестве матрицы использовали блок-сополимер бутадиенстирольного каучука. [стирол-b-этилен/бутиленb-стирол] (SEBS). Найдено, что при комнатной температуре и размере частиц Fe₃O₄ около 30 нм материалах происходит переход «супермагнетик-ферромагнетик». Диэлектрипроницаемость ческая (ε_r) полимерных композитов с увеличением концентрации Fe₃O₄ растет и не зависит от размера частиц. Однако магнитная проницаемость (μ_r) композитов существенно зависит от размера частиц Fe₃O₄. Это связано с тем, что высокая анизотропия энергии может преодолевать тепловые эффекты, связанные с окружением частиц, и поддерживать высокую намагниченность.

В [6] нанокомпозиты ПЭВП (полиэтилен высокой плотности)/Fe₃O₄ получены методом смешивания расплава с различным содержанием наночастиц Fe₃O₄ размером около 50 нм (0, 1, 2, 3, 4 и 5 масс.%). Методом широкоугольной рентгеновской дифракции исследовано влияние концентрации наночастиц Fe₃O₄ на степень кристалличности, температуру плавления, а диэлектрические свойства ПЭВП и его нанокомпозитов исследованы дифференкалориметрии циальной сканирующей электрохимической импедансной спектроскопии. добавление Результаты подтвердили, что наночастиц в матрицу ПЭВП приводит снижению степени кристалличности улучшению диэлектрических характеристик. Считается, что такие ПКМ с улучшенными диэлектрическими характеристиками постепенно становятся превосходными функциональными материалами.

Авторы [7] сообщают о механизме влияния наночастиц Fe₃O₄ на механические и антикоррозионные свойства эпоксидных нанокомпозитов. Они пришли к выводу, что после модификации олеиновой кислотой поверхность Fe₃O₄ становится гидрофобной и дисперсия наночастиц в эпоксидной матрице значительно улучшается, что и приводит к увеличению предела прочности, твердости и адгезионной прочности. Считается, что повышенные механические характеристики этих композитов могут быть

обусловлены равномерным распределением наночастиц в эпоксидной матрице и сильным межфазным взаимодействием между Fe_3O_4 и матрицей.

В работе [8] были получены и исследованы чистый полианилин (PANi), чистый Fe₃O₄, а затем нанокомпозит PANi/Fe₃O₄. FTIR-спектр нанокомпозитов PANi/Fe₃O₄ обнаруживает широкую полосу поглощения, свидетельствующую о присутствии разных функциональных групп. Интенсивность и волновое число полосы поглощения Fe₃O₄ уменьшается, что указывает на ослабление Fe-O связи. Полученные авторами свидетельствуют ланные сильном взаимодействии и связи между PANi и Fe₃O₄ в композитах. Эксперименты показали, что с концентрации наночастиц Fe₃O₄ намагниченность увеличивается. Изменение в поведения характере магнитных свойств наполненных образцов обеспечивает магнитную силу композитов и делает их потенциальным материалом для применения в области хранения информации и магнитных сенсоров.

Электропроводность, электромагнитное экранирование И теплопроводность гибких нанокомпозитных пленок поливинилиденфторида (PVDF/Fe₃O₄/ углерод) исследованы в [9]. С ростом концентрации углеродного электропроводность свойства материала И экранирования электромагнитных волн композитов PVDF/ Fe₃O₄/CNT_s и PVDF/ Fe₃O₄/GNP_s растет. При одинаковой толщине (0,7 мм) вычисленные значения параметра S_{ET}, соответственно, составляют 22,7 и 26,2 dB. Согласно синергетическому эффекту, между наночастицами Fe₃O₄ и углеродного материала свойства экранирования улучшение электромагнитных волн композитов в основном обязано механизму абсорбции. В результате этих исследований авторы заключают, что композиты могут быть применены в электронике или аэрокосмической индустрии. На самом деле, легкие полимерные нанокомпозиты, обладающие высокой прочностью и термостойкостью, а также необходимыми электрическими, оптическими и другими характеристиками, могут оказаться пригодными для применения в космической технике в качестве как конструкционных, так и функциональных материалов космических аппаратов [10]. В работе (KA) авторы экспериментальными и расчетно-теоретическими методами исследовали стойкость полимерных нанокомпозитов, рассматриваемых в настоящее время в качестве перспективных материалов $(\Pi \frac{3}{10}\% \text{ об. B}_{4}\text{C}, \Pi \frac{3}{10}\% \text{ об. BN})$ для космической техники, к воздействию потока атомарного кислорода и частиц космической радиации

(поток электронов и ионов с энергиями $\sim 10^6 \div 10^{20}$ эВ). Показано, что уровень стойкости нанокомпозитов достаточен для применения их в качестве конструкции космических аппаратов и радиационной защиты. Поэтому систем перспективным является направление разработке радиационно-стойких и радиационнозащитных материалов, которые могут найти применение в космической промышленности. Успехи в этой области во многом зависят от создания композитов на основе полимерной матрицы и оксидов металлов, которые позволяют новые создать материалы, обладающими совершенно уникальными свойствами Авторами этой работы рассмотрена возможность синтеза полимерных композитов на основе полиэтилена низкого давления высокодисперсного металлического порошка оксида алюминия. Установлено, что композит, содержащий в себе 70% наполнителя, обладает высокой стойкостью факторам, К имитирующим космическое пространство, под воздействием электронного облучения не создает вторичное гамма-излучение. Кроме варьируя количеством наполнителя, создается возможность управлять функциональными свойствами разработанного композита.

Таким образом, анализ литературы данному вопросу показывает, что ПКМ, в которых наночастицы магнетита используются в активного функционального качестве компонента, с успехом могут эксплуатироваться многих областях техники. При материалы на основе нано-Fe₃O₄, распределенного в матрице ПЭВП, изучены недостаточно подробно. Поэтому целью данной исследование работы является влияния наполнителя и поглощенной дозы у-облучения на электрофизические параметры полученных композиционных материалов на основе ПЭВП марки 20806-024 и магнетита.

ЭКСПЕРИМЕНТАЛЬНАЯ ЧАСТЬ

Синтез наночастиц магнетита

Магнетит [оксид железа (II, III)] Fe_3O_4 синтезировали методом гидролиза и осаждения в присутствии растворов солей $FeSO_4 \cdot 7H_2O$ (Fe^{2+}) и $FeCl_3 \cdot 6H_2O$ (Fe^{3+}) в дистиллированной воде. Соли железа $FeSO_4 \cdot 7H_2O$ (Fe_2+) и $FeCl_3 \cdot 6H_2O$ (Fe^{3+}), взятые в количестве 12 и 23,4 г соответственно (соотношение $Fe^{2+}:Fe^{3+}=1:2$), растворяли отдельно в дистиллированной воде. Затем растворы солей отфильтровывали и смешивали при интенсивном перемешивании при температуре 40-50 °C, далее температуру повышали до 60 °C и к смеси при интенсивном перемешивании по каплям добавляли 150 мл

25%-го водного раствора аммиака до значения pH 10–11. В растворе происходила химическая реакция:

$$FeSO_4 \cdot 7H_2O + 2FeCl_3 \cdot 6H_2O + 8NH_4OH = Fe_3O_4 \downarrow + 6NH_4Cl + (NH_4)_2SO_4 + 23H_2O.$$
 (1)

После этого образовавшийся осадок оксида железа Fe_3O_4 черного цвета из водной суспензии отделяли декантацией от раствора с продуктами реакции. Процесс промывки осадка оксида железа дистиллированной водой повторяли 5–6 раз до рН промывочного раствора 7,0. Далее влажный оксид железа Fe_3O_4 сушили при температуре 373–378 К в течение 4–5 ч. Синтезированный магнетит не стабилизирован.

По данным рентгеноструктурного анализа (PCA), описанного в работе [11], дифрактометром PANalytical EMPYREAN определено, что синтезированные наночастицы Fe_3O_4 имеют двухфазную структуру, содержащую магнетит (Fe_3O_4) – 73,1 об.% и примесь гетита (FeOOH) – 26,9 об.%. Наночастицы FeOOH, возможно, получены по реакции обмена между солью железа (III) и основанием.

Ниже приведен пример такой реакции:

$$FeCl_3 + 3NH_4OH = FeOOH \downarrow + 3NH_4Cl + H_2O.$$
 (2)

Наночастицы Fe_3O_4 имеют кубическую структуру с параметрами кристаллической решетки $\alpha = \beta = \gamma = 90^\circ$ и a = b = c = 8,369 Å. Кроме того, определенные из спектра по рефлексу (311) методом Шеррера размеры частиц Fe_3O_4 составляют D = 26,4 нм, расчетный объем элементарной кристаллической решетки магнетита V = 89,19Å3 [11].

На рис. 1 приведены СЭМ-изображения чистого ПЭВП и нанокомпозитов ПЭВП/ ω ,% Fe_3O_4 .

С помощью сканирующего электронного (СЭМ) микроскопа исследованы морфологические изменения структуре чистого В высокой плотности полиэтилена нанокомпозитных пленок $\Pi \ni B\Pi/x\%$ вызванные действием частиц нано-Fe₃O₄ и дисперсией распределения наночастиц объему полимерной матрицы. Микрофотографии структурной морфологии образцов были получены с помощью микроскопа марки JEOL JSM-6490lv SEM в режиме ускоряющегося напряжения 10-20 кВ. Ha рис. представлена микрофотография структурной морфологии пленки ПЭВП с увеличением ×20 000 раз. На рассматриваемом изображении наблюдаются эластично растянутые и натянутые фибриллярная и ламеллярная текстуры. Такие текстуры характерны для надмолекулярной структуры полиэтилена.

Ha рис. также представлены микроскопические изображения структурной морфологии нанокомпозитов ПЭВП/ х% Fe₃O₄ с концентрациями 1% (б), 3% (в) и 5% (г) нано-Fe₃O₄. Из полученных ДЛЯ всех трех микроизображений нанокомпозитов стало частицы известно. что нано-Fe₃O₄ демонстрируют достаточно высокое гомогенное распределение в виде агрегатов по объему полимерной матрицы. При микроизображений выяснилось, что их средний размер составляет около 250-300 нм. Самый маленький размер агрегатов примерно равен 70-90 нм. Как было обнаружено из анализа малоуглового рассеяния рентгеновских лучей (SAXS), эти агрегаты имеют фрактальную увеличении природу, НО при объемного количества наполнителя в полимерной матрице образование агломератов наблюдается увеличением размеров агрегатов. Самый большой агрегат имеет размер 1,5-2 мкм. Однако количество таких агрегатов довольно ограничено. При этом наблюдается достаточно сильная адгезия на межфазной границе «полимер-наполнитель». Из работы известно. что частицы нано-Fe₃O₄ сильно взаимодействуют с цепочками макромолекул по всему объему полимерной матрицы. Мы считаем, что это связано с довольно высокой активностью частиц нано-Fe₃O₄, которые имеют высокую эффективную площадь поверхности. Таким образом. присутствие большого количества полярных групп (например, - ОН-, - COOH -) на поверхности частиц нано-Fe₃O₄ способствует сильному взаимодействию на межфазной границе «полимер-наполнитель». Кроме того, по микроснимкам было установлено, под действием частиц нано-Fe₃O₄ полимерная матрица претерпевает резкие морфологические изменения. Изменения. происходящие в структуре полимерной матрицы, также ярко проявились в теплофизических и электрофизических свойствах нанокомпозитных пленок ПЭВП/х% Fe_3O_4 . Таким образом, СЭМ-анализа микроизображений результаты что частицы нано-Fe₃O₄ показали. демонстрируют однородное дисперсное распределение в ПЭВП матрице. Частицы нано-Fe₃O₄ резко влияют на локальную сегментарную подвижность цепей молекул полимера, подвергая их морфологическим изменениям. При этом было установлено, что на межфазной границе «полимерсуществует наполнитель» сильное взаимодействие. Кроме того, было показано, что имеется корреляция между структурными изменениями, происходящими

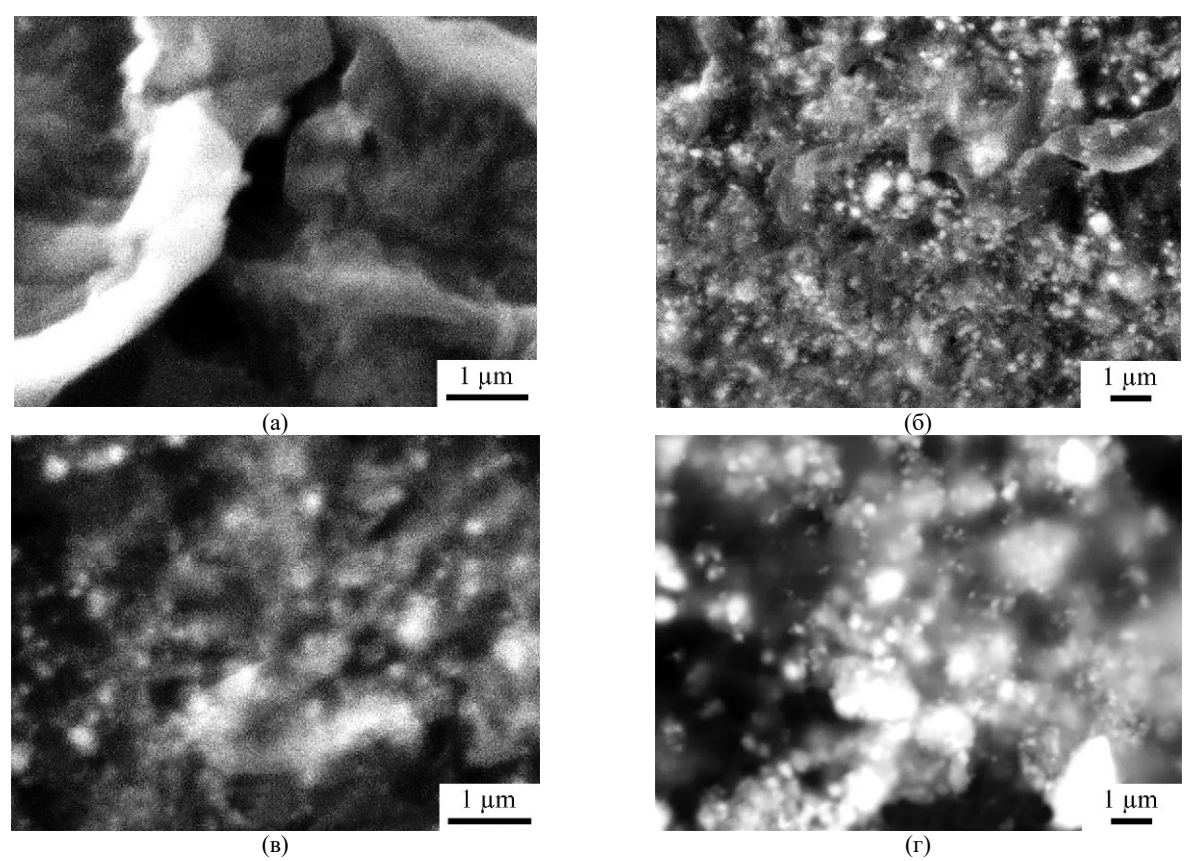


Рис. 1. СЭМ-изображения ПЭВП и нанокомпозитов ПЭВП/ ω ,% α -Fe₃O₄: (a) — чистый ПЭВП; (б) — нанокомпозит ПЭВП/1% α -Fe₃O₄; (в) — нанокомпозит ПЭВП/ 3% α -Fe₃O₄; (г) — нанокомпозит ПЭВП/5% α -Fe₃O₄.

нанокомпозитных пленок ПЭВП/х%Fe₃O₄, и их электрофизическими (диэлектрическая релаксация) и теплофизическими свойствами.

Получение образцов нанокомпозитов

В качестве полимерной матрицы в работе порошкообразный использовали полиэтилен высокой плотности марки 20806-024 (средняя молекулярная масса 95000, температура плавления -403 K, плотность -0.932 г/см³, степень кристалличности 52%, удельное объемное электрическое сопротивление $\rho_{\nu} = 2 \times 10^{13} \, \text{Ом} \cdot \text{м}$). Наполнителем служили частицы магнетита Fe_3O_4 (плотность – 5,4 г/см³, средний размер – 26 нм). При изготовлении образцов композитов ПЭВП и ПЭВП/нано-а-Fe₃O₄ применялась следующая технологическая схема:

- получение путем просеивания через сито порошка ПЭВП с размерами частиц не более $200\ \mbox{мкм};$
- смешивание в яшмовой ступке порошков ПЭВП и нано- α -Fe₃O₄. Объемное содержание наполнителя в полимерной матрице составило x = 1, 3 и 5%;
- получение образцов композитов в виде пластин толщиной 120±3 мкм и диаметром 20 мм путем прессования гомогенной смеси порошков композитов в гидравлическом прессе с нагревательными плитами при давлении 15 МПа,

с выдержкой при температуре 403 К в течение 5 минут и с резким охлаждением в смеси «ледвода» (режим закалки). Следует отметить, что с целью обеспечения надежного электрического контакта между образцом и электродами из нержавеющей стали перед прессованием на обе внешние поверхности заготовок смеси порошков композитов закладываются электроды из тонкой алюминиевой фольги толщиной 7 мкм.

Частотные дозовые зависимости электрофизических параметров $(\varepsilon'=f(\lg v),$ $tg\delta = f(lgv)$, $lg\sigma = f(lgv)$ и $\varepsilon' = f(D)$, $tg\delta = f(D)$, $\lg \sigma = f(D)$) ПЭВП/(1–5%) нано- α -Fe₃O₄ до и после у-облучения построены по результатам значений ε' , tg δ и σ . Измерение емкости C, тангенса угла диэлектрических потерь tgδ и активного сопротивления R на переменном токе (амплитуда измерительного напряжения U1B) B двухэлектродной системе С прижимным электродом специально экранированной, заземленной и обогреваемой измерительной ячейке типа «сэндвич», имеющей систему измерительного (диаметр 15 MM) потенциального (диаметр 35 мм) электродов из нержавеющей стали, происходит с помощью широкополосного измерителя иммитанса (RLC) E7-20 в интервале частот (25 -10^6) Γ ц при температуре 293 К. По измеренным значениям емкости Cактивного сопротивления *R* и геометрическим размерам образцов

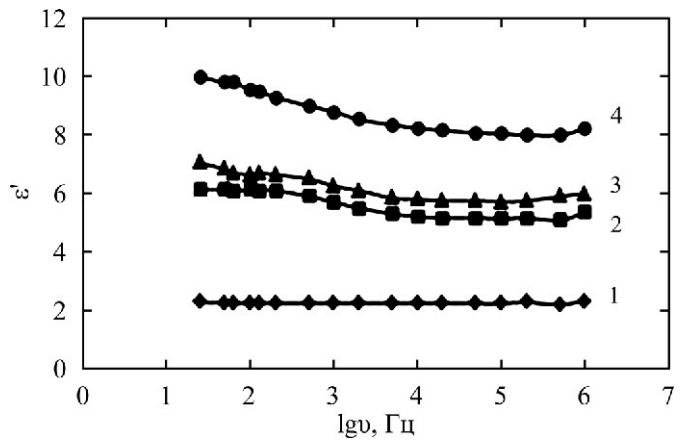


Рис. 2. Частотные зависимости истинной части диэлектрической проницаемости композитов ПЭВП и ПЭВП/ α -Fe₃O₄ $\varepsilon'=f(lgv)$. при температуре T=293К в диапазоне частот (25÷10⁶) Гц: I – чистый ПЭВП, x=0; 2-x=1%; 3-x=3%; 4-x=5%.

стандартными методами определялись действительная часть комплексной диэлектрической проницаемости ϵ' и электрической проводимости σ .

 γ -Облучение образцов композиций дозой поглощения до 300 кГр проводилось при комнатной температуре на установке MRX- γ -25 с источником излучения 60 Co на воздухе. Мощность поглощенной дозы $5,184\times10^3$ Гр/ч.

ОБСУЖДЕНИЕ РЕЗУЛЬТАТОВ

Ha представлена рис. зависимость действительной части комплексной диэлектрической проницаемости (є') от частоты для чистого ПЭВП и композитов ПЭВП/α-Fe₃O₄ $\varepsilon'=f(lgv)$ при температуре T=293 K в диапазоне частот $(25 \div 10^6)$ Гц. Как видно из рис. 2, в чистом образце ПЭВП не наблю-дается изменений в зависимости $\varepsilon' = f(\lg v)$, значение $\varepsilon' = 2,3$ остается практически постоянным в частотном диапазоне $(25 \div 10^6)\Gamma$ ц, то есть не обнаружена дисперсия диэлектрической проницаемости (кривая I). В нанокомпозитах ПЭВП/ α -Fe₃O₄ при низкой частоте ($\nu = 25~\Gamma$ ц) с увеличением объемного содержания нано-α-Fe₃O₄ наблюдается увеличение значения ε' от 2,3 до 10, то есть для композита ПЭВП/5% об. α -Fe₃O₄ ϵ' повышается 4,3 раза. С увеличением частоты наблюдается нелинейная дисперсия диэлектрической проницаемости образцов с содержанием наполнителя x = 1, 3 и 5%. Но и в этом случае при исследованным диапазоне частоты каких-либо характерных пиков, которые можно было бы связать с определенными типами межмолекулярной подвижности рассмотренной зависимости, также наблюдается. Такое поведение зависимости $\varepsilon'=f(\lg v)$ показывает, что полярные СО группы, которые появляются в ПЭВП в результате частичного окисления полиэтилена, не способны ориентироваться под действием электрического поля [13–15]. Частотные зависимости ДЛЯ обнаруживают нанокомпозитов слабую частотную дисперсию действительной части комплексной диэлектрической проницаемости: значения є' монотонно уменьшаются возрастании частоты (кривые 2-4). Увеличение значения ε' c уменьшением частоты области низкочастотной может быть обусловлено межфазной поляризацией Максвелла-Вагнера-Силларса), (поляризация которая происходит в гетерогенных структурах и объясняется накоплением зарядов на межфазной границе из-за разных значений диэлектрической проницаемости и проводимости матрицы и наполнителя [16]. Уменьшение є' в основном приписывается несоответствию межфазной поляризации композитов при высоких частотах приложенному полю, то есть считается, что при высоких частотах электрическое поле так быстро изменяется, что поляризационные эффекты не успевают проявить себя, и є' уменьшается. Кроме того, накопленные на границе раздела между образцом композита и электродом захваченные заряды, создавая в системе дополнительный емкостной элемент, приводят к уменьшению значения є' для всех композитов с увеличением частоты прило-женного электрического поля [17].

С повышением концентрации Fe_3O_4 от 1 до 5% об. при изменении частоты внешнего электрического поля степень изменения (уменьшения) ϵ' увеличивается, и в случае композита ПЭВП/5% об. α - Fe_3O_4 значение ϵ' снижается примерно в 1,21 раза, а параметр $\Delta\epsilon'=(\epsilon'_0-\epsilon'_\infty)$, где ϵ'_0 и ϵ'_∞ – соответственно низкочастотная и высокочастотная диэлектрические проницаемости, описывающие полную ширину дисперсии, оказывается равным 1.2.

На рис. 3 приведены дисперсионные кривые тангенса угла диэлектрических потерь $tg\delta = f(lgv)$ для чистого ПЭВП (кривая I) и

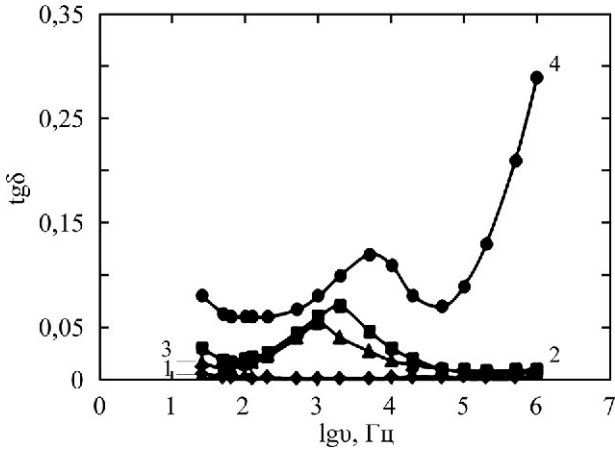


Рис. 3. Частотные зависимости тангенса угла диэлектрических потерь композитов ПЭВП и ПЭВП/нано- α -Fe₃O₄ при температуре T=293 К в диапазоне частот ($25\div10^6$) Γ ц tg $\delta=f(\mathrm{lgv})$: I- чистый ПЭВП, $x=0,\ 2-x=1\%$; 3-x=3%; 4-x=5%.

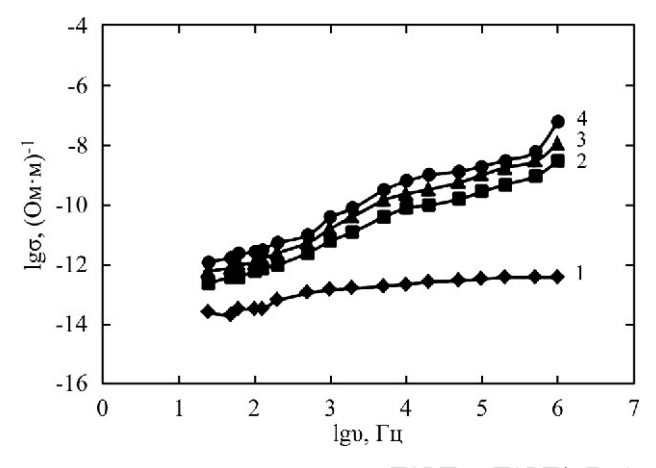


Рис. 4. Частотные зависимости электропроводности композитов ПЭВП и ПЭВП/α-Fe₃O₄ $\lg \sigma = f(\lg \nu)$ при в частотном диапазоне $(25 \div 10^6)$ Γ ц и температуре T = 293 К. I – чистый ПЭВП, x = 0; 2 - x = 1%; 3 - x = 3%; 4 - x = 5%.

композитов ПЭВП+x% α -Fe₃O₄ (кривые 2–4), измеренных при частоте 1 кГц и температуре T = 293 K. Из рис. 3 видно, что для ПЭВП tg δ практически не зависит от частоты. А в случае композитов с объемным содержанием нано-а-Fe₃O₄ 5% ДО диапазоне $10^2 \div 5 \times 10^3$ Гц измерительного поля наблюдается положительный диэлектрический эффект (ПДЭ), а именно возрастание значения tgδ образцов. Максимальный ПДЭ для композитов с объемным содержанием 1, 3 и 5% α-Fe₃O₄ соответствует частотам 1, 2 и 5 кГц, то есть с увеличением содержания а-Fe₃O₄ в полиэтиленовой матрице релаксационные пики сдвигаются в сторону высоких частот. Для композитов ПЭВП+5% α -Fe₃O₄ в диапазоне (5÷50) кГц наблюдается область отрицательного диэлектрического эффекта (ОДЭ), то есть уменьшение значения tgδ. Затем с дальнейшим увеличением частоты наблюдается резкий рост tgb, который может быть обусловлен проявлением высокочастотных релаксационных потерь. Для композитов ПЭВП+1% α-Fe₃O₄ и ПЭВП+5% α-Fe₃O₄ область ОДЭ простирается до конца частотной шкалы.

Значение времени релаксации сегментальной динамики полимерной цепи τ для этих нанокомпозитов определяли из соотношения: $\tau = \left(2\pi f_p\right)^{-1}$, где f_p – частота пиков релаксации в спектрах tg δ , равная 159, 79,5 и 31,8 мкс соответственно.

Инерционность формирования пространственного композита заряда структуре приводит К снижению диэлектрического отклика. На низких частотах поверхностный успевает следовать полем заряд диэлектрические потери оказываются малы. В области высоких частот поляризация не успевает устанавливаться за полупериод поля, и диэлектрические потери уменьшаются. Наблюдаемый в средней частотной области измерительного диапазона максимум определяется релаксационными потерями, характерными для большинства диэлектриков. Рост диэлектрических потерь tgδ с увеличением частоты измерительного поля обусловлен поляризационными процессами [15]. Действительно, внешнего воздействия образцы при низких частотах больше, а при высоких - меньше максвелловского

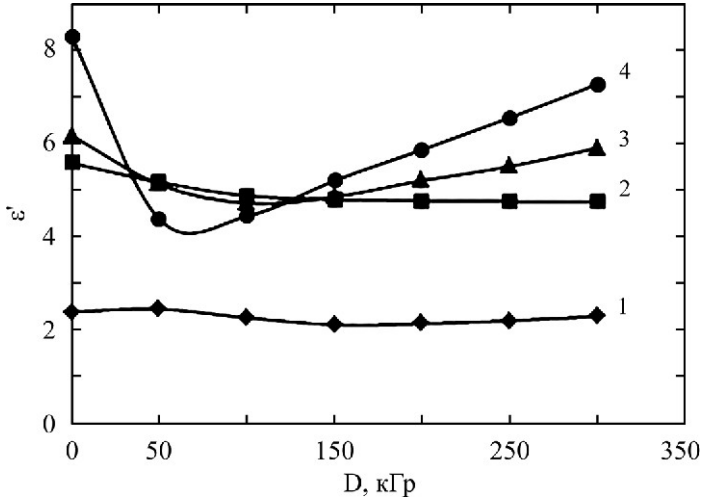


Рис. 5. Зависимости истинной части диэлектрической проницаемости модифицированных γ - лучами ПЭВП/ α -Fe₃O₄ от дозы поглощения излучения $\epsilon' = f(D)$: I – чистый ПЭВП, x = 0; 2 - x = 1%; 3 - x = 3%; 4 - x = 5%.

диэлектрической релаксации ($\tau_{\rm M}=\epsilon\epsilon_0\rho_{\rm v}$, где $\rho_{\rm v}-$ удельное объемное электрическое сопротивление образца в Ом·м). В нашем случае выполняется условие $T<\tau_{\rm M}$, где T- период колебания внешнего электрического поля. Уменьшение значений tg δ с ростом частоты свидетельствует о том, что в области ОДЭ основным видом диэлектрических потерь в этих нанокомпозитах являются потери на электропроводность.

Зависимости электропроводности σ_{ac} в переменном поле чистого ПЭВП и композитов ПЭВП+х% Fe_3O_4 различных концентраций при комнатной температуре от частоты электрического поля в двойном логарифмическом масштабе представлены на рис. 4. Увеличение концентрации Fe_3O_4 в матрице ПЭВП приводит к увеличению σ_{ac} от $4.9\cdot10^{-14}~(\text{Ом·м})^{-1}$ для чистого ПЭВП до $7.6\times10^{-12}~(\text{Ом·м})^{-1}$ для композита ПЭВП+5% Fe_3O_4 .

зависимости характеризуют свойство - линейное возрастание проводимости с ростом частоты. Это свидетельствует о степенной зависимости проводимости \sim f^s , где частоты, σ_{ac} s – параметр, природой определяемый механизма проводимости. Такой характер зависимости σ_{ac} (f) говорит о прыжковым механизме переноса заряда и типичен для непроводящих материалов. Дисперсионная зависимость для чистого ПЭВП σ_{ac} (f) обнаруживает два линейных участка: первый – от 25 до 500 Γ ц и второй – от 500 до 1×10^4 Гц. Критический параметр *s* для первого участка равен 0.46, а для второго участка -0.09, то есть происходит переход от сильной зависимости проводимости к слабой. А для композитов ПЭВП+5% Fe₃O₄ дополнительно появляется третий участок зависимости $\sigma_{ac}(f)$ диапазоне частот 1×10^4 – 5×10^5 Гц. Критический параметр проводимости ѕ на этом участке для композитов с x = 1% Fe₃O₄, x = 3%

 Fe_3O_4 и x = 5% Fe_3O_4 оказался равным соответственно 0,47; 0,70 и 0,35, то есть сначала с увеличением частоты области сравнительно слабой зависимости проводимости (участок I) переходят к более сильной, где s = 0.70(участок II), а на третьем участке совершается обратный переход к более слабой области (s = 0.35). Во всех случаях параметр sудовлетворяет условию 0 < s < 1, что указывает барьерно-прыжковый механизм проводимости, согласно которому прыжки электронов происходят ПО состояниям, локализованным в окрестности уровня Ферми [15].

На рис. 5 приведены зависимости ε' от поглощенной дозы (D) γ -облучения при 293 К для композитов ПЭВП+х% Fe₃O₄. Как видно из рис. 5, до D=300 кГр значение $\varepsilon'=2,3$ для исходного ПЭВП практически не зависит от поглощенной дозы γ -облучения. С увеличением D наблюдается изменение значения ε' образцов композитов.

От D є' композитов ПЭВП+1% Fe_3O_4 слабо зависит. С увеличением концентрации Fe_3O_4 до 5% характер зависимости є' = f(D) изменяется, а именно: при D=50 кГр є' резко уменьшается от 8,24 для необлученного композита ПЭВП+5% Fe_3O_4 до 4,5, а затем с увеличением дозы (D>50 кГр) также сравнительно быстро растет, достигая значения 7 в конце дозовой шкалы.

Полученный нами для композитов ПЭВП+5% Fe₃O₄ характер дозовой зависимости действительной части диэлектрической проницаемости є' хорошо согласуется с результатом авторов [18]. Мы придерживаемся мнения этих авторов и считаем, что наблюдаемое снижение є' с ростом поглощенной дозы γ-облучения связано с предположением, что γ-облучение вызывает изменения в структурном и химическом составе ПЭВП-матрицы (перестройка молекулярных связей из основного в упорядоченное состояние

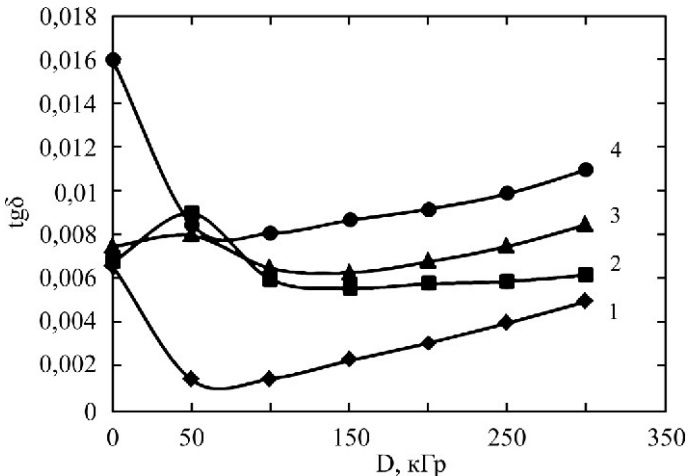


Рис. 6. Зависимости тангенса угла диэлектрических потерь модифицированных γ-лучами нанокомпозитов ПЭВП/ α -Fe₃O₄ от дозы поглощения излучения $tg\delta = f(D)$: I – чистый ПЭВП, x = 0; 2 - x = 1%; 3 - x = 3%; 4 - x = 5%.

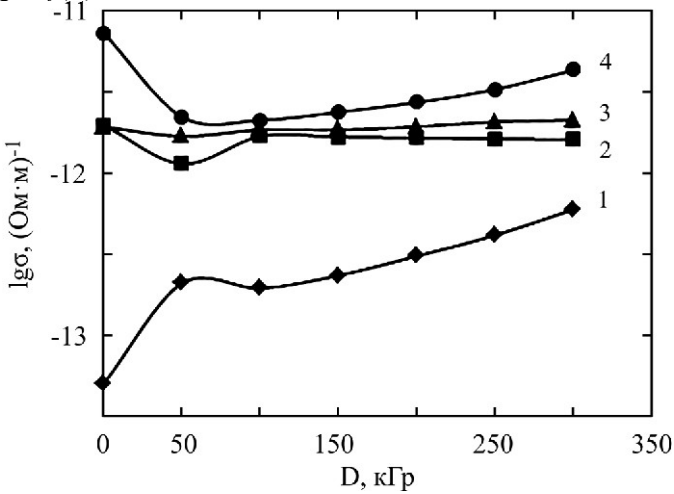


Рис. 7. Зависимости электропроводности модифицированных γ-лучами нанокомпозитов ПЭВП/ α -Fe₃O₄ от дозы поглощения излучения $\lg \sigma = f(D)$: I – чистый ПЭВП, x = 0, 2 - x = 1%; 3 - x = 3%; $4 - x\omega = 5\%$.

цепочечных сшитых молекул в кристаллической области и размера кристаллитов, увеличение степени кристалличности и размера кристаллитов, окислительная деградация и т.д.), что в счете конечном приводит К изменению электрофизических свойств нанокомпозитов. Увеличение є' этих нанокомпозитов с ростом поглощенной у-дозы D от 50 до 300 кГр может быть связано с окислительной деградацией и присутствием кислорода воздухе при облучении [19].

На рис. 6 представлены зависимости $tg\delta = f(D)$ чистого ПЭВП и композитов ПЭВП+x% Fe_3O_4 при комнатной температуре. Видно, что для чистого ПЭВП (кривая 1) и композита ПЭВП+5% Fe_3O_4 (кривая 4) характер зависимости $tg\delta = f(D)$ повторяет ход зависимости $\epsilon' = f(D)$ ϵ' композита ПЭВП+5% Fe_3O_4 (рис. 7, кривая 4).

На рис. 7 приведены зависимости электропроводности σ_{ac} на переменном токе от погло-щенной дозы (D) γ -облучения для ПЭВП (кривая I) и ПЭВП+х% Fe_3O_4 (кривые 2-4). Для образцов чистого ПЭВП при D=50 кГр σ_{ac} увеличивается (n=0,61), затем при $D\geq 100$ кГр

скорость увеличения σ_{ac} уменьшается (n=0,27). Практически не зависит от поглощенной дозы γ -облучения σ_{ac} композитов ПЭВП+3% Fe₃O₄. А в случае композитов ПЭВП+1% Fe₃O₄ и ПЭВП+5% Fe₃O₄ (кривые 2–4) σ_{ac} сначала уменьшается, а затем при $D \ge 100$ кГр для композита ПЭВП+1% Fe₃O₄ до конца дозовой шкалы остается постоянным, а для композита ПЭВП+5% Fe₃O₄ незначительно возрастает (n=0,16), достигая при D=100 кГр значения $6.1 \times 10^{-12} (\text{Ом·м})^{-1}$.

Следует, отметить, неполярной ЧТО полиэтиленовой матрицы увеличение концентрации нано- Fe_3O_4 увеличивает σ_{ac} от 4.9×10^{-14} Om⁻¹·m⁻¹ ПЭВП до ДЛЯ чистого $7.6 \times 10^{-12} (\text{OM} \cdot \text{M})^{-1}$ для композита ПЭВП+5% Fe₃O₄.

Дозовые зависимости $\varepsilon'(D)$, $\operatorname{tg}\delta(D)$ и $\sigma_{ac}(D)$ исследованных образцов обнаруживают области с максимумом, минимумом и области, где эти параметры не зависят от дозы поглощения. Известно [11], что облучение не только вызывает структурные изменения, такие как образование поперечных связей внутри полимерных цепей (сшивание), но и влияет на свойства наночастиц,

улучшая межфазные взаимодействия. При низкой дозе облучения инициируют лишь сшивку. В TO время как высокие дозы у-облучения вызывают рост σ_{ac} , который обусловлен продуктами деструкции в ПЭВП.

Кроме того, дозовый эффект, то есть влияние предварительного облучения на σ_{ac} , обусловлен не изменением спектра молекулярных движений, облученном накоплением В полимере стабилизированных носителей заряда и, в несколько меньшей степени, радикальных или молекулярных продуктов радиолиза, выступающих в качестве центров захвата [16]. В то же время отжиг радиационно-химического эффекта молекулярных радикальных (генерация И продуктов радиолиза) строго индивидуален для каждого полимера, и выявление его роли представляет собой самостоятельную задачу. можно ожидать Более того, возникновения необратимых эффектов радиационной электропроводности, поскольку после полного генерированных радикалов расходования облученным полимере произойдут изменения его химического строения и надмолекулярной структуры.

Согласно [20], сложный характер зависимости σ_{ac} от поглощенной дозы D γ -облучения обусловлен радиационно-стимулированными изменениями структуры и молекулярной подвижности полимеров. Механизм влияния дозы на перенос носителей заряда связан с изменением спектра молекулярной релаксации.

Таким образом, представленные предварительные экспериментальные результаты не позволяют на данном этапе сделать однозначный вывод о конкретном механизме влияния поглощенной дозы у-облучения на радиационную электропроводность композитов.

ВЫВОДЫ

Влияние гамма-излучения доз радиоактивного ⁶⁰Co источника на действительную часть диэлектрической проницаемости (ϵ') , диэлектрические потери (tgδ) и проводимость переменного тока (σ_{ac}) изучалось необлученных и облученных нанокомпозитов $\Pi \ni B\Pi/\alpha$ - Fe_3O_4 при различной концентрации α -Fe₃O₄ в нанокомпозитах. Значения ϵ' и $tg\delta$ определялись методом диэлектрической спектроскопии в диапазоне частот 25 Гц – 1 МГц как для облученных, так и для необлученных образцов при комнатной температуре 25 °C. Кроме того, было обнаружено, что частотно-И зависимые ε'. tgδ проводимость увеличиваются с повышением дозы для всех нанокомпозитов. Частотно- и дозозависимые значения є', $tg\delta$ и σ_{ac} ЭТИХ материалов

подтверждают их пригодность в качестве гибких нанодиэлектрических материалов для использования в качестве изолятора и подложки при проектировании микроэлектронных устройств.

КОНФЛИКТ ИНТЕРЕСОВ

Авторы заявляют, что у них нет конфликта интересов.

ЛИТЕРАТУРА

- 1. Khachaturov, A.A., Fionov, A.S., Kolesov, V.V., Potapov E.E., et al., Functional elastomer composite materials based on styrene-butadiene rubber and magnetite, *RENSIT*, 2019, v.11, no.2, p. 189.
- 2. Шорсткий, И.А., Яковлев, Н., Метод формирования материала-поглотителя электромагнитного излучения на основе магнитоуправляемых частиц Fe₃O₄, *Перспективные материалы*, 2020, № 3, с. 70.
- 3. Ansar, M.Z., Atiq, S., Alamgir, K. and Nadeem, S., Frequency and temperature dependent dielectric response of Fe₃O₄ nano-crytallites, *J. Sci. Res.*, 2014, vol. 6, no. 3, p. 399.
- 4. Бычков, А.Н., Фетисов, Г.П., Кыдралиева, К.А., Соколов, Е.А., и др., Нанокомпозиционные материалы на основе металлосодержащих наночастиц и термопластичных полимерных матриц: получение и свойства, *Вестник МАИ*, 2017, т. 24, № 2, с. 209.
- 5. Ta-I, Yang, Rene, N.C. Brown, Leo C., Kempel, Peter and Kofinas, Magneto-dielectric properties of polymer-Fe₃O₄ nanocomposites, *J. Magn. Magn. Mater.*, 2008, vol. 320, no. 21, p. 2714.
- Fatemeh, Ahangaran, Ali, Hassanzadeh, Sirous, Nouri, Rasoul and Esmaeely, Neislany, Investigation of thermal and dielectric properties of Fe₃O₄/high-density polyethylene nanocomposites, *J. Comp. Mater.*, 2017, vol. 51, no. 28, p. 3923.
- 7. Rongjian, Wan, Shiming, Chen, Xiao, Tang, Zhenliang, Feng, et al., Effect mechanism of the Fe₃O₄ nanoparticles on mechanical properties and anticorrosion performances of epoxy coatings, *Progr. Org. Coat.*, 2022, vol. 173, art. ID 107181.
- 8. Elashmawi, I.S. and Alhusaiki-Alghamdi, H.M., Fabrication, characterization, spectroscopic, and magnetic properties of polyaniline/magnetite (PANi/Fe₃O₄) nanocomposites, *Opt. Quant. Electron.*, 2024, vol. 56, art. ID 1090.
- Haoran, Cheng, Shengnan, Wei, Youxin, Ji, Jinsheng, Zhal, et al., Synergetic effect of Fe₃O₄ nanoparticles and carbon on flexible poly (vinylidence fluoride) based films with higher heat dissipation to improve electromagnetic shielding, *Composites. Part A. Appl.* Sci. Manuf., 2019, vol. 121, p. 139.
- 10. Новиков, Л.С., Воронина, Е.Н., Демидов, В.А., Самохина, М.С., и др., Стойкость полимерных нанокомпозитов к воздействию космических

- излучений. Взаимодействие излучений с твердым телом. Материалы 9-й Межд. конф., Минск, 20-22 сентября 2011 г. Минск: Изд. центр БГУ, 2011, с. 161.
- 11. Ястребинский, Р.Н., Самойлова, Ю.М., Павленко, В.И., Демченко, О.В., Использование высокодисперсного оксида алюминия для синтеза радиационно-стойких полимерных композитов, *Успехи современного естествознания*, 2015, № 9, часть 3, с. 532.
- 12. Bayramov, M.N., Nabiev, A.A., Aliyev, N.Sh. and Nuriev, M.A., Effect of Fe₃O₄ iron oxide nanoparticles on the structure and thermal properties of high-density polyethylene-based nanocomposites, *Inorg. Mater.: Appl. Res.*, 2024, vol. 15, p. 1367.
- 13. Kuliyev, M.M., Samedov, O.A. and Ismayilova, R.S., The temperature-frequency dispersion of the dielectric characteristics of composite materials based on polyethylene with TIInS2 inclusions. *Sur. Eng. and Appl. Electrochem.* 2013, vol. 49, no. 2, p. 91.

doi:10.3103/S1068375513020075

- 14. Nabiyev, A.A., Influence of gamma radiation on electrophysical properties of nanocomposites obtained on the basis of high-density polyethylene and nanosize SiO₂, *J. Radiat. Res.*, 2019, vol. 6, no. 2, p. 97.
- Samadov, O.A., Orucova, Kh.B., Najafov, A.İ., Mehdiyev, N.M., et al., Complex impedance spectra of TllnS₂(10%C) compound irradiated by γ-quantum, *J. Radiat. Res.*, 2023, vol. 10, no. 1, p. 5.
- Nasr, G.M., Mohamed, T.A. and Ahmed, R.M., Characterization and dielectric properties of fly ash / polystyrene / low density polyethylene composites, *IOP Conf. Ser.: Mater. Sci. Eng.*, vol. 956, art. ID 012002.

https://doi.org/10.1088/1757-899X/956/1/012002

17. Tyutnev, A.P., Saenko, V.S., Smirnov, I.A. and Pozhidaev, E.D., Radiation-induced conductivity in polymers during long-term irradiation, *High Energy Chem.*, 2006, vol. 40, p. 319.

- 18. Waree, K., Pangza, K., Jangsawang, N., Thongbai, P., et al., Dielectric properties of poly (vinylidene fluoride)/barium titanate nanocomposites under gamma irradiation, *Rad. Protect. Dosim.*, 2019, vol. 184, nos. 3–4, p. 342.
- Fares, S., Frequency dependence of the electrical conductivity and dielectric constants of polycarbonate (Makrofol-E) film under the effects of γ-radiation, *Nat. Sci.*, 2011, vol. 3, no. 12, p. 1034.
- 20. Хатипов, С.А., Радиационно-индуцированные процессы электронного транспорта в полимерных диэлектриках, *Химия высоких энергий*, 2001, т. 35, № 5, с. 323.

Summary

The influence of gamma radiation of the Cobalt-60 radioactive source doses on the dielectric constant (ϵ '), dielectric loss (tan δ) and AC conductivity (σ_{ac}) properties was studied for the unirradiated and irradiated HDPE/α-Fe₃O₄ nanocompozites at different concentrations of α -Fe₃O₄ in the nanocomposites. The ϵ' and tan δ values were determined via dielectric spectroscopy over a frequency range 25Hz - 1MHz for both irradiated and unirradiated samples at room temperature 25 °C. Further, it was observed that the frequency dependent ε' , tan δ , and σ_{ac} conductivity were found to increase with increasing the dose for all nanocomposites. The frequency and dose dependent ε' , tan δ , and σ_{ac} values of those materials confirmed their suitability as flexible-type nanodielectric materials for their use as insulator and substrate in design of microelectronics devices. Using a PANalytical EMPYREAN X-ray diffractometer and a JEOL JSM-6490LV scanning electron microscope, the crystal structure and surface morphology of unirradiated and irradiated films were studied.

Keywords: polymer, dipole, electron, dielectric constant, tangent of the dielectric loss angle, relaxation, conductivity, frequency, qamma radiation, dose